



## تعیین اندازه بلوک‌ها در سنگ‌های اولترابازیک ارتفاعات جنوب شهر مشهد

زهره نوربخش رزمی<sup>۱</sup>، غلامرضا لشکری پور<sup>۲\*</sup>، محمد غفوری<sup>۳</sup>

پذیرش مقاله: ۹۲/۱۰/۱۵

دریافت مقاله: ۹۲/۶/۶

### چکیده

اولترابازیک‌های جنوب شهر مشهد بخش مهمی از افیولیت‌های مشهد را تشکیل می‌دهند. به دلیل افزایش قیمت زمین و توسعه شهر مشهد در ارتفاعات جنوبی آن و افزایش ساخت و سازها در این منطقه، مطالعه توده سنگ‌های اولترابازیک این منطقه و سیستم درزهای آن از لحاظ خصوصیات مهندسی تودهسنگ و تأثیر آنها در ناپایداری شیب‌ها و ترانشه‌های ایجاد شده در این محدوده از اهمیت بسزایی برخوردار شده است. در این مقاله برای محاسبه RQD این سنگ‌ها سه روش تجربی مختلف استفاده شده است که نتایج حاصل از آنها همخوانی مناسبی را با هم نشان می‌دهند. علاوه بر تعیین شاخص کیفیت تودهسنگ، پارامترهایی از قبیل تراکم وزنی درزه (Wjd) و حجم بلوک (Vb) نیز محاسبه شده که مشخصات بهتری از اندازه بلوک را ارائه می‌دهند. اندازه بلوک به عنوان یک داده ورودی بسیار مهم در بسیاری از محاسبات مهندسی سنگ است و با استفاده از روش‌های تجربی و مدلسازی‌های مختلف قابل تعیین می‌باشد.

کلید واژه‌ها: اندازه بلوک، اولترابازیک، خط برداشت، حجم بلوک، تراکم وزنی درزه

۱. دانشجوی کارشناسی ارشد زمین‌شناسی مهندسی، دانشگاه فردوسی مشهد

۲. استاد گروه زمین‌شناسی دانشگاه فردوسی مشهد lashkaripour@um.ac.ir

\* مسئول مکاتبات

سنگ‌ها اشاره کرد که نمونه‌ای از آن در مهرماه ۹۲ در خیابان هاشمیه به وقوع پیوست (شکل ۱-ب) و نگرانی‌های مستولین شهری را در مورد ساخت‌وساز در این سنگ‌ها شدت بخشید. این حادثه در اثر وجود درزه‌ها و شکستگی‌های فراوان و نامنظم و نیز دگرسانی شدید در این سنگ‌ها به خصوص دگرسانی کانی‌های مافیک مثل الیوین و پیروکسن به سرپائین، کلریت، تالک و آمفیبول اتفاق افتاده است. دگرسانی کانی‌ها در راستای درزه‌ها در اکثر نقاط به وضوح قابل مشاهده می‌باشد. زاویه حضور ناپیوستگی‌ها در سنگ‌ها نقش مهمی را در رفتار توده‌سنگ تحت شرایط بارگذاری ایجاد می‌نماید (Salui and Akande, 2012). درزه‌های موجود در یک توده‌سنگ آن را به بلوک‌هایی با اندازه مختلف تقسیم می‌کنند. اندازه بلوک پارامتر مهمی در تعیین رفتار توده‌سنگ است (ISRM, 1978). مطالعات زیادی در مورد ارزیابی داده‌های حاصل از برداشت درزه‌ها وجود دارد که تاکنون به عنوان یک راهنمایی برای محققین در زمینه مکانیک سنگ به شمار می‌روند (Cruden, 1977; Hudson and Priest, 1979; Sen and Eissa, 1992; Boadu and Long, 1994; Goodman, 1995; Palmstrom, 1995; Heliot, 1988; Lu and Latham, 1999; Wang et al., 2003). یکی از مهمترین کاربردهای سیستم درزه تعیین اندازه بلوک‌های موجود در توده‌سنگ می‌باشد. اندازه بلوک توسط روش‌های تجربی و مدل‌سازی قابل تعیین است. روش‌های تجربی شامل تعداد درزه‌های حجمی ( $J_v$ )، فضای بین درزه‌ها و حجم بلوک می‌باشد. در روش‌های تجربی میانگین اندازه بلوک محاسبه می‌شود. از دیگر مطالعات انجام شده در زمینه اندازه بلوک می‌توان به موارد زیر اشاره کرد:

Roshan (2000, 2005) روش‌های تعیین اندازه بلوک و توزیع اندازه بلوک را ارائه داده است. Kim et al., (2007) اندازه بلوک را برای توده‌های سنگی با توجه به تداوم درزه‌ها تعیین کرده است. Sonmez et al., (2004) روشهای برای تعیین در رخمنونهای سنگی دارای فاصله زیاد بین درزه‌ها Wjd (2004) Chio and Park تغییرات RQD با ارائه داده‌اند. Chio and Park (2004) جهت و طول خط برداشت را بررسی کرده‌اند. and Laine (2012) MATLAB با استفاده از نرم‌افزار MATLAB به Markovaara

## ۱. مقدمه

دامنه‌های طبیعی با شیب زیاد در جنوب و جنوب غرب مشهد قرار دارد که از جنس سنگ‌های اولتراپاکیک و اسلیت و فیلیت هستند. با توجه به هوازدگی شدید این رخمنونهای بخصوص در حد کوه و دشت که خرد شده و گسلیده می‌باشند، ترانشه زنی در این مصالح می‌تواند موجب کاهش پایداری آنها گردد و مستعد وقوع لغزش در طی زلزله خواهد شد. (حافظی مقدس و قزی، ۱۳۸۶). شکل ۱ نمونه‌هایی از ناپایداری ترانشه‌های ایجاد شده در سنگ‌های اولتراپاکیک در جنوب شهر مشهد را نشان می‌دهد.



شکل ۱. بالا: نمونه‌ای از یک لغزش بزرگ انتقالی و تخریب یک مجتمع در حال ساخت در خیابان هاشمیه (سال ۱۳۸۵)؛ پایین: ریزش حاصل از گودبرداری در سنگ‌های اولتراپاکیک خیابان هاشمیه (سال ۱۳۹۲)

از دیگر مشکلات ایجاد شده در سنگ‌های اولتراپاکیک منطقه مورد مطالعه می‌توان به ریزش حاصل از گودبرداری‌ها در این

فراوانی دارد. Khamehchiyan et al.,(2013) طبقه‌بندی جدیدی را بر اساس سیستم طبقه‌بندی RMi و حجم بلوک برای ارزیابی حفاری در توده‌های سنگی ارائه داده‌اند. در بسیاری از روش‌های مدل‌سازی عددی و محاسبات تحلیلی توده‌سنگ از مقاومت و یا مدول تغییر شکل استفاده می‌شود که بدین ترتیب از اندازه بلوک به صورت غیرمستقیم استفاده می‌گردد (Palmstrom, 2005).

### ۳. روش‌های اندازه‌گیری اندازه بلوک

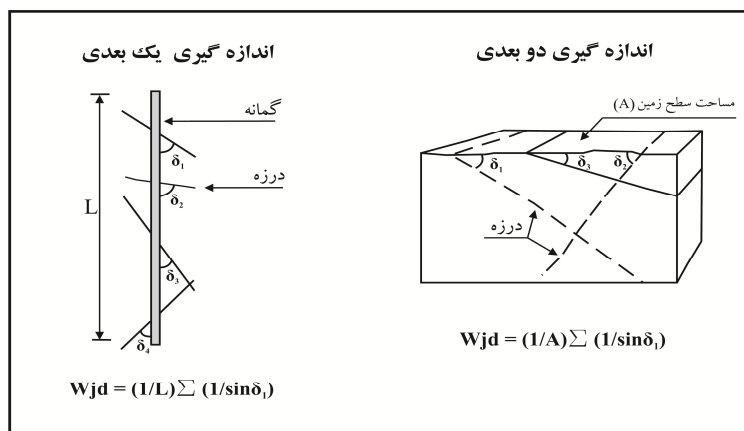
#### ۳-۱. تراکم وزنی درزه (Wjd)

روش تراکم وزنی درزه منجر به ارتقاء مشخصات درزه داری توده‌سنگ می‌شود. این پارامتر برای دست یابی به اطلاعات بهتر از گمانه‌ها یا مشاهدات سطحی به کار می‌رود. این روش مبتنی بر اندازه‌گیری زاویه بین هر درزه و سطح یا گمانه است شکل ۲ روش محاسبه این پارامتر را نشان می‌دهد. پالمستروم (Palmstrom) معتقد است این پارامتر تقریباً برابر با تعداد درزه‌های حجمی (Jv) می‌باشد. Jv در مکان‌هایی که توده‌سنگ دارای درزه‌های خیلی کوتاه (درزه‌های نامنظم) است از دقت مناسبی برخوردار نمی‌باشد و فقط برای درزه‌های بزرگتر از ۱ متر کاربرد دارد (Palmstrom, 2005).

تجزیه و تحلیل داده‌های حاصل از خط برداشت پرداخته‌اند. (Jv) Saliu et al., (2012) با استفاده از تعداد درزه‌های حجمی اصلاح شده، اندازه بلوک‌ها را در رخنمونهای گرانیتی با استفاده از نرم‌افزار اتوکد تعیین کرده‌اند. در این تحقیق با استفاده از روش‌های تجربی و میدانی از جمله روش خط برداشت به محاسبه پارامترهایی از قبیل RQD و حجم بلوک‌ها در سنگ‌های اولترابازیک پرداخته شده است.

### ۲. اهمیت اندازه بلوک در مهندسی سنگ

محاسبه اندازه بلوک علاوه بر این که در تحلیل پایداری سازه‌های سنگی مفید و لازم است در طبقه‌بندی‌های ژئومکانیکی نیز مورد استفاده قرار می‌گیرد. سیستم‌های طبقه‌بندی مهندسی توده‌سنگ در طراحی ساپورت سنگی استفاده می‌شوند. به عنوان مثال در سیستم طبقه‌بندی Q (Barton et al., 1974) ابعاد بلوک‌ها به طور مستقیم با استفاده از نسبت بین RQD و فاکتور تعداد دسته درزه‌ها (Jn) محاسبه می‌شود. در سیستم طبقه‌بندی RMR (Bieniawski, 1973) شاخص کیفیت توده سنگ و فضای بین درزه‌ها مورد استفاده Palmstrom, (RMi) قرار می‌گیرد. حجم بلوک در سیستم (Palmstrom, 1995) نیز به منظور ارزیابی ساپورت سنگی کاربردهای



شکل ۲. روش اندازه‌گیری تراکم وزنی درزه (Wjd) در سطوح سنگی و گمانه‌ها (Palmstrom, 1995) : زاویه بین سطح مشاهده شده بر روی سطح زمین یا گمانه و هر درزه؛ A: مساحت مشاهده شده بر حسب متر مربع؛ L: طول مقطع اندازه‌گیری شده در معرض حفاری شده یا خط برداشت.

2005) و رابطه ۴ (Hudson and priest, 1979) و نیز از روش الگوی درزه‌ها و خط برداشت استفاده شده است و RQD عبارتند از درصدی از خط برداشت که شامل فضای بین درزه‌های بزرگ تر از ۱۰۰ میلی‌متر باشد (شکل ۷).

$$RQD = 110 - 2.5 Jv \quad (3)$$

$$RQD = 100 e^{-0.1\lambda} (1 + 0.1\lambda) \quad (4)$$

#### ۴. زمین‌شناسی منطقه مورد مطالعه

منطقه مورد مطالعه در جنوب شهر مشهد و در محدوده زمین درز قرار دارد. این محدوده بین ارتفاعات بینالود و کوه داغ واقع شده و شامل سنگ‌های افیولیتی و دگرگونی است. مجموعه افیولیتی و سنگ‌های مرتبط با آن، نواهایی به طول دهها کیلومتر با راستای شمال‌غرب-جنوب شرق را در دامنه شمالی ارتفاعات بینالود تشکیل می‌دهند. این محدوده، محل برخورد قطعات لیتوسفری ایران در جنوب و قطعه لیتوسفری توران در شمال است که با بسته شدن اقیانوس پالئوتیس همراه بوده است (Alavi, 1991). در ناحیه مشهد، افیولیت‌ها به صورت عدسی‌های بزرگ و کشیده و کم و بیش با حالت لایه‌ای با رسوبات رسی دگرگون شده همراه هستند. Majidi (1980) این سنگ‌ها را متعلق به پرمین می‌داند. اولترابازیک‌های مشهد عمدتاً شامل دونیت و ورلیت است که به ظاهر با دگرگونی‌های مشهد تابع دارند و در اثر رخداد هرسی نین، گاهی تا رخساره آمفیولیت دگرگون شده‌اند (آقاباتی، ۱۳۸۳). شکل ۳ نقشه زمین‌شناسی محدوده مورد مطالعه را نشان می‌دهد. مهم‌ترین گسل موجود در منطقه گسل سنگ بست - شاندیز به طول ۷۷ کیلومتر است که نقش مهمی در ایجاد درزه‌های موجود در محدوده مورد مطالعه دارد. شیب این گسل به سمت شمال شرق است که سبب رانده شدن بقایای پالئوتیس بر روی کنگلومرات ژوراسیک زیرین - میانی شده است. گسل سنگ بست - شاندیز به صورت یک گسل مورب لغز (راستگرد، دارای مؤلفه راندگی) است و درزه‌های منطقه در دو سیستم موازی جبهه راندگی و عمود بر آن تشکیل شده‌اند. سن این گسل را می‌توان پس از ژوراسیک در نظر گرفت (قنادان و همکاران، ۱۳۸۸).

#### ۲-۳. حجم بلوک

برای محاسبه حجم بلوک در جاهایی که بلوک‌های منفرد در یک سطح مشاهده می‌شود، حجم آنها به طور مستقیم از ابعاد مرتبط با انتخاب چندین بلوک و اندازه‌گیری ابعاد میانگین آنها به دست می‌آید (ISRM, 1978). برای بلوک‌هایی با حجم کم این اندازه‌گیری سریع‌ترین روش است. روش دیگر محاسبه حجم بلوک، استفاده از تعداد درزه‌های حجمی و یا تراکم وزنی درزه (Jv ~ wjd) می‌باشد (رابطه ۱).

$$Vb = \beta \times Jv^3 \quad (1)$$

که در این معادله  $\beta$  فاکتور شکل است و شامل یکی از موارد جدول ۱ است. در این تحقیق از هر دو روش ذکر شده برای محاسبه حجم بلوک استفاده شده است.

#### جدول ۱. شکل بلوک‌های سنگی و مقادیر $\beta$ مرتبط با آن

(Palmstrom, 1995)

$\beta$	شکل بلوک
۲۷	بلوک‌های هم بعد (مکعبی)
۲۸ - ۳۲	بلوک‌های کمی کشیده (مشوری) و کمی صاف (صفحه‌ای)
۳۳ - ۵۹	بلوک‌های نسبتاً مسطح و نسبتاً کشیده
۶۰ - ۲۰۰	بلوک‌های کشیده و مسطح
> ۲۰۰	بلوک‌های خیلی مسطح و خیلی کشیده

Palmstrom (1995) رابطه ۲ را برای محاسبه  $\beta$  پیشنهاد کرده است:

$$\beta = 20 + 7 \frac{a_3}{a_1} \quad (2)$$

که در این رابطه  $a_1$  و  $a_3$  کوتاه‌ترین و بلندترین ابعاد بلوک هستند.

#### ۳-۳. شاخص کیفی توده سنگ (RQD):

برای محاسبه RQD (شاخص کیفی توده‌سنگ) روش‌های تجربی و میدانی زیادی وجود دارد که از آن جمله می‌توان به محاسبه RQD بر اساس مغزه‌های حفاری (Deere, 1968) و نیز محاسبه این شاخص بر اساس الگوی درزه‌ها (Palmstrom, 2005) اشاره کرد. در این پژوهش نیز برای محاسبه RQD در سنگ‌های اولترابازیک مورد مطالعه از رابطه ۳ (Palmstrom,

### مشخصات کلی ترانشه‌های مورد مطالعه

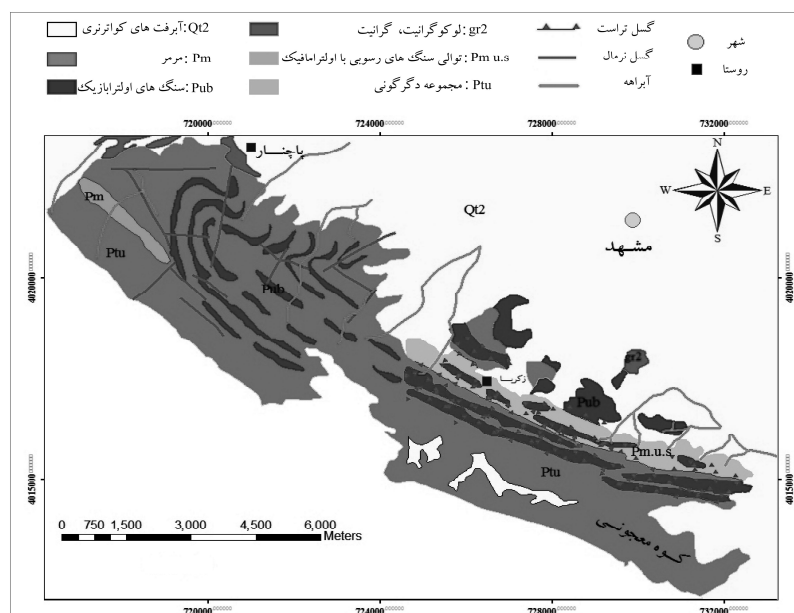
ترانشه شماره ۱: این ترانشه در راستای SE-NW و در طول جغرافیایی  $59^{\circ}29'29''$  و عرض  $36^{\circ}18'28''$  قرار دارد. سنگ‌ها تحت شرایط محیط به شدت دگرگون و دگرسان شده هستند و محصولات دگرسانی عمدتاً از نوع سرپانه‌یین و تالک است. یک زون کاملاً خردشده در قسمت بالای ترانشه و در طول آن قرار دارد. میزان خاک بر جا ۲۰ تا ۳۰ سانتی‌متر است. در راستای این پژوهش، خط برداشت‌هایی به طول ۱۰، ۲۳ متر و به ترتیب با زوایای صفر، ۴۵ و ۹۰ درجه نسبت به سطح افق برای محاسبه پارامترهای مذکور در نظر گرفته شده است.

ترانشه شماره ۲: این ترانشه نیز در راستای SE-NW و در طول جغرافیایی  $59^{\circ}24'24''$  و عرض  $36^{\circ}18'29''$  قرار دارد. نوع سنگ در این ترانشه از نوع ورلیت کمی دگرگون شده (متاورلیت) می‌باشد. میزان هوازدگی و دگرسانی نسبت به ترانشه شماره ۱ کمتر است و میزان خاک بر جا در این ترانشه نیز ۲۰ تا ۳۰ سانتی‌متر می‌باشد. شکل ۴ نمایی از ترانشه شماره ۲ را نشان می‌دهد. خط برداشت‌هایی به طول ۱۰/۵، ۴ و ۲/۵ متر نیز در مورد این ترانشه در نظر گرفته شده است

(شکل ۵).

### ۵. روش‌ها

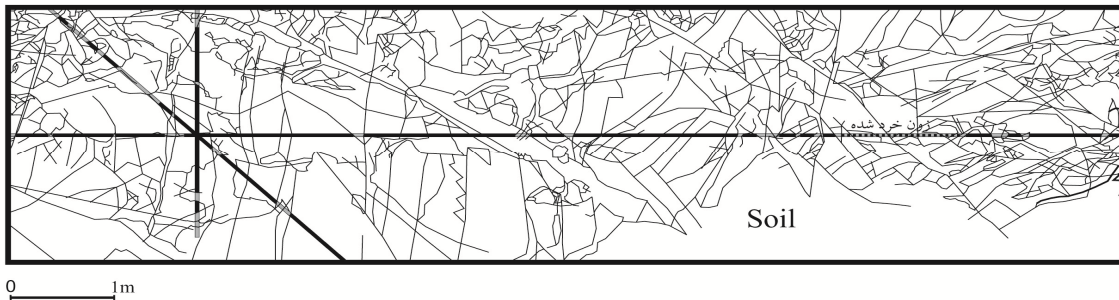
در این پژوهش برای محاسبه پارامترهای مختلف از قبیل RQD، Wjd و Vb از روش خط برداشت (روش یک بعدی) و روش‌های تجربی و میدانی استفاده شده است. در این راستا یک دوربین دیجیتال با قابلیت بزرگنمایی زیاد، نصب شده بر روی سه پایه برای عکس برداری از ترانشه‌ها و رسم نقشه درزه‌ها به کار گرفته شده است و سپس با استفاده از نرم‌افزار CorelDRAW X5 به رسم درزه‌ها که عمدتاً نامنظم‌اند، پرداخته شده است. شکل ۵ نمایی از ترانشه شماره ۲ و شکل ۶ نقشه درزه‌های رسم شده به وسیله این روش در این ترانشه را نشان می‌دهد. این شکل نشان‌دهنده وجود مشکلات فراوان در اندازه گیری اندازه بلوک‌ها در این سنگ‌ها می‌باشد. درزه‌ها از لحاظ اندازه عمدتاً شامل درزه‌های کوتاهی هستند که باعث تفاوت فراوان در اندازه بلوک‌ها می‌گردند. با این وجود با استفاده از روش‌های ارائه شده می‌توان به آسانی و به سرعت و بدون هیچ‌گونه تخریب در منطقه به نتایج بسیار مهمی در ارتباط با اندازه بلوک‌ها رسید.



شکل ۳. نقشه زمین‌شناسی رقومی‌شده منطقه مورد مطالعه (برگرفته از نقشه ۱:۱۰۰۰۰۰؛ مشهد و طرقیه)

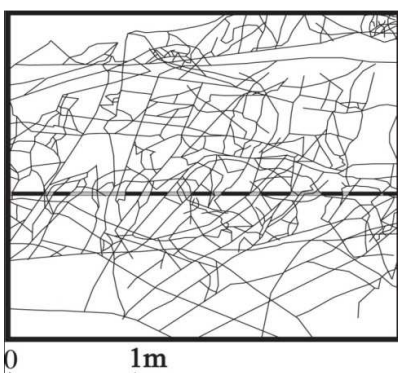


شکل ۴. نمایی از ترانشه شماره ۲ هفت تیر (دید به سمت جنوب غرب)



شکل ۵. نقشه درزهای موجود در ترانشه شماره ۲ همراه با موقعیت خطوط برداشت بر روی آن

(رسم شده با استفاده از نرم افزار CorelDRAW X5 بر اساس شکل شماره ۴).



شکل ۶. با به کار بردن خط برداشت (scanline) مقادیر RQD قابل تعیین است. قطعات بزرگتر از ۱۰ سانتی متر در طول خط برداشت با رنگ سیاه نشان داده شده است.

**۲-۵. محاسبه تراکم وزنی درزه (Weighted joint density)**  
محاسبه این پارامتر مبتنی بر اندازه‌گیری زاویه بین هر درزه و خط برداشت یا محور گمانه می‌باشد. در ترانشه شماره ۱ و ۲ به ترتیب ۲۱۶ و ۱۳۶ زاویه تقاطع بین درزه و خطوط برداشت اندازه‌گیری و نتایج حاصل از آن در جداول ۳ و ۴ ارائه گردیده است. علاوه بر این مقادیر فراوانی درزه‌ها نیز در این جداول ذکر شده است که عبارتند از میانگین تعداد درزه‌هایی که طول مشخصی از مغزه حفاری یا خط برداشت را قطع می‌کنند (Palmstrom, 1995).

این شکل نشان‌دهنده مشکلات فراوان در اندازه‌گیری اندازه بلوك‌ها در اين سنگ‌ها می‌باشد.

#### ۵-۱. محاسبه $RQD$

مقادیر شاخص کیفیت توده سنگ به جهت خط برداشت و نیز جهت ناپیوستگی‌ها بستگی دارد. علاوه بر محاسبه  $RQD$  از روش خط برداشت (شکل ۶)، با استفاده از تراکم وزنی درزه ( $Jv \sim wJd$ ) و نیز فراوانی درزه‌ها ( $\lambda$ ) اقدام به محاسبه این پارامتر شده است که نتایج حاصل از آنها در جدول ۲ نشان داده شده است.

#### جدول ۲. نتایج محاسبات $RQD$ حاصل از سه روش مختلف در ترانشه شماره ۱ و ۲

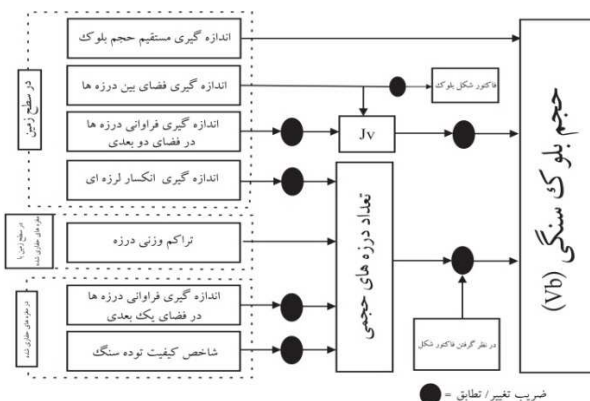
	ترانشه شماره ۱						ترانشه شماره ۲							
	زاویه خط برداشت	۰	۴۵	۹۰	۰	۴۵	۹۰	زاویه خط برداشت	۵۲	۴۹	۴۹	۷۴/۷۸	۶۸	۷۶/۴۲
خط	برداشت							۳	۵۴	۵۰	۵۲	۷۵	۷۵	۸۶
رابطه ۳								۴	۵۹	۵۹	۵۶	۸۱	۸۱	۸۴

جدول ۳. نتایج محاسبات  $W_{Jd}$  (تراکم وزنی درزه) در ترانشه شماره ۱ بلوار هفت تیر

فرآوانی درزه‌ها (N)	$W_{Jd} = (1/L)N_w$	وزن داده شده	درزه‌ها	تعداد کل	تعداد درزه‌های درزه‌ها	تعداد درزه‌ها در هر گروه از زوايا	برداشت	طول خط	زاویه خط							
									برداشت (درجه)	(متر)	>۶۰°	۳۱-۶۰°	۱۶-۳۰°	<۱۶°		
														$N_w = \sum n \times f_i$		
۱۴	۲۲.۴۵	۲۲۴.۵	۱۴۴	۱۴۴	۱۴۴	۲۲۴.۵	۷۲	۷۲	۴۲	۴	۱۲	۶۱	۶۷	۱۰	۰ (۰)	
۱۴	۲۴	۷۲	۴۲	۴۲	۴۲	۷۲	۳۰	۳۰	۳۰	۰	۵	۸	۱۷	۱۷	۲	۹۰
۱۵	۲۳.۲۵	۴۶.۵	۴۶.۵	۴۶.۵	۴۶.۵	۴۶.۵	۶	۶	۳.۵	۱.۵	۱.۰	۲	۲۲	۲۲	۳	۴۵
															Rating of $f_i =$	

جدول ۴. نتایج محاسبات  $W_{Jd}$  (تراکم وزنی درزه) در ترانشه شماره ۲ بلوار هفت تیر

فرآوانی درزه‌ها (N)	$W_{Jd} = (1/L)N_w$	وزن داده شده	درزه‌ها	تعداد کل	تعداد درزه‌های درزه‌ها	تعداد درزه‌ها در هر گروه از زوايا	برداشت	طول خط	زاویه خط									
									برداشت (درجه)	(متر)	>۶۰°	-۶۰°	-۳۰°	<۱۶°				
۸	۱۳/۸۰	۱۴۵	۸۸	۸۸	۸۸	۱۴۵	۳۱	۳۱	۱۰/۵	۳۳	۴۴	۸	۳	۱۰ (۰)				
۸	۱۳/۸۷	۵۵/۵	۳۱	۳۱	۳۱	۵۵/۵	۱۲	۱۲	۴	۱۴	۲	۲	۲	۴۵				
۷	۹/۶	۲۴	۱۷	۱۷	۱۷	۹/۶	۱۱	۱۱	۲/۵	۴	۲	۰	۰	۹۰				
														Rating of $f_i =$				
															۱	۱/۵	۳/۵	۶

شکل ۷. روش‌های مختلف اندازه‌گیری حجم بلوک  
(Palmstrom, 1995)

روش اول: تنها راه محاسبه حجم بلوک‌های سنگی (Vb) با استفاده از  $W_{Jd}$  استفاده از فاکتور شکل ( $\beta$ ) است. برای به دست آوردن حجم بلوک‌ها از فاصله بین درزه‌ها در هر دسته درزه نیز می‌توان استفاده کرد اما به دلیل وجود درزه‌های تصادفی فراوان در ترانشه‌های سنگی مورد مطالعه استفاده از

۳-۵. روش‌های محاسبه حجم بلوک در سنگ‌های اولترابازیک حجم بلوک‌های سنگی مرتبط با شدت یا درجه درزه‌داری توده سنگ است. هر یک از بلوک‌ها توسط درزه‌های مختلف از دیگر بلوک‌ها جدا می‌شوند. هر چه تعداد ناپیوستگی‌ها بیشتر باشد، اندازه بلوک کوچک‌تر می‌شود. از این رو یک رابطه معکوس بین حجم بلوک و تعداد درزه‌ها وجود دارد (Palmstrom, 1995). روش‌های مختلفی برای تعیین حجم بلوک‌های سنگی وجود دارد که در شکل ۷ نشان داده شده است. در این پژوهش برای محاسبه حجم بلوک، از دو روش تراکم وزنی درزه و نیز اندازه‌گیری مستقیم استفاده شده است و در مجموع حجم مرتبط با ۴۱۷ بلوک اندازه‌گیری و منحنی مربوط به تعیین محدوده حجم بلوک‌ها در منطقه ارائه شده است.

جدول ۵ نمونه‌ای از محاسبات  $\beta$  و  $Vb$  را در ترانشه شماره ۲ هفت تیر نشان می‌دهد.

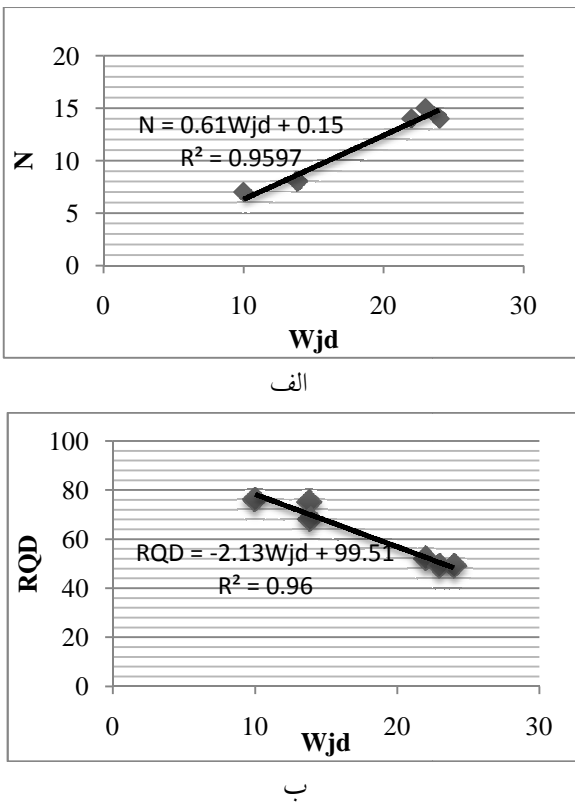
روش دوم: روش اندازه‌گیری مستقیم روشی ساده و آسان برای اندازه‌گیری حجم بلوک‌های سنگی است. در این روش ۲۱۵ بلوک منفرد به عنوان بلوک نماینده در منطقه مورد مطالعه انتخاب و تا حد امکان از بلوک‌هایی استفاده شده است که در اثر فعالیت‌های عمرانی دستخوش تغییرات مکانیکی قرار نگرفته‌اند. ۳ بعد مرتبه با هر بلوک به طور جداگانه اندازه‌گیری و حجم بلوک سنگی تعیین گردیده است.

این روش امکان‌پذیر نمی‌باشد بنابراین از فاكتور شکل استفاده شده است اما بلوک‌هایی که به وسیله درزه‌ها ایجاد شده‌اند اشکال مختلفی دارند. بنابراین مقادیر فاكتور شکل ( $\beta$ ) نیز تا حدودی متغیر خواهد بود. در ترانشه‌های ۱ و ۲ به ترتیب ۱۴۱ و ۶۱ بلوک به عنوان بلوک‌های نماینده انتخاب و بلندترین و کوتاه‌ترین بعد در آنها اندازه‌گیری شده است. که در این راستا علاوه بر بلوک‌هایی که به طور تصادفی انتخاب شده‌اند، تا حد امکان سعی بر آن بوده است که بلوک‌های تشکیل شده در طول خطوط برداشت به عنوان بلوک نماینده انتخاب گردند.

**جدول ۵.** نمونه‌ای از محاسبات فاكتور شکل و حجم بلوک در ترانشه شماره ۲

شماره بلوک	(m)S3	بلند ترین بعد (m)	کوتاه ترین بعد (m)	(S3/S1)	$\beta = 20 + 7(S3/S1)$	$W_{jd} = Jv$	$Vb = \beta \times Jv^{(-3)}$
۱	۰/۳۸	۰/۱۸	۲/۰۶	۳۴/۴۴	۱۲	۰/۰۱۹۹	
۲	۰/۶۰	۰/۴۹	۱/۲۳	۲۸/۶۰	۱۲	۰/۰۱۶۶	
۳	۰/۳۳	۰/۳۰	۱/۰۸	۲۷/۵۵	۱۲	۰/۰۱۵۹	
۴	۰/۱۷	۰/۰۸	۲/۰۴	۳۴/۳۱	۱۲	۰/۰۱۹۹	
۵	۰/۰۶	۰/۰۴	۱/۴۷	۳۰/۲۷	۱۲	۰/۰۱۷۵	
۶	۰/۴۰	۰/۳۲	۱/۲۵	۲۸/۷۷	۱۲	۰/۰۱۶۶	
۷	۰/۱۶	۰/۱۳	۱/۱۷	۲۸/۱۶	۱۲	۰/۰۱۶۳	
۸	۰/۴۸	۰/۱۲	۴/۰۹	۴۸/۶۲	۱۲	۰/۰۲۸۱	
۹	۰/۵۶	۰/۳۴	۱/۶۷	۳۱/۶۸	۱۲	۰/۰۱۸۳	
۱۰	۰/۴۹	۰/۱۴	۳/۵۸	۴۵/۰۵	۱۲	۰/۰۲۶۱	
۱۱	۰/۳۴	۰/۲۳	۱/۴۶	۳۰/۲۳	۱۲	۰/۰۱۷۵	
۱۲	۰/۲۳	۰/۱۶	۱/۴۷	۳۰/۲۷	۱۲	۰/۰۱۷۵	
۱۳	۰/۴۹	۰/۱۲	۴/۲۳	۴۹/۵۸	۱۲	۰/۰۲۸۷	
۱۴	۱/۱۴	۰/۱۲	۹/۷۰	۸۷/۹۲	۱۲	۰/۰۵۰۹	
۱۵	۰/۳۵	۰/۲۲	۱/۰۵	۳۰/۸۸	۱۲	۰/۰۱۷۹	
۱۶	۰/۶۴	۰/۲۱	۳/۰۴	۴۱/۳۱	۱۲	۰/۰۲۳۹	
۱۷	۰/۶۵	۰/۱۱	۵/۹۲	۶۱/۶۶	۱۲	۰/۰۳۵۶	
۱۸	۰/۱۸	۰/۱۳	۱/۳۳	۲۹/۳۱	۱۲	۰/۰۱۷۰	
۱۹	۰/۴۱	۰/۱۲	۳/۴۲	۴۳/۹۳	۱۲	۰/۰۲۵۴	
۲۰	۰/۹۱	۰/۲۰	۴/۶۵	۵۲/۵۳	۱۲	۰/۰۳۰۴	
۲۱	۰/۸۳	۰/۱۲	۶/۷۳	۶۷/۱۲	۱۲	۰/۰۳۸۸	
۲۲	۰/۱۹	۰/۱۳	۱/۴۷	۳۰/۲۶	۱۲	۰/۰۱۷۵	
۲۳	۰/۷۷	۰/۱۲	۶/۲۱	۶۳/۴۹	۱۲	۰/۰۳۷	
۲۴	۰/۴۱	۰/۰۶	۷/۲۵	۷۰/۷۲	۱۲	۰/۰۴۰۹	
۲۵	۰/۱۷	۰/۱۱	۱/۰۵	۳۰/۸۳	۱۲	۰/۰۱۷۸	
۲۶	۰/۰۸	۰/۰۶	۱/۲۷	۲۸/۸۹	۱۲	۰/۰۱۶۷	
۲۷	۰/۴۱	۰/۰۶	۶/۵۰	۶۵/۴۷	۱۲	۰/۰۳۷۹	
۲۸	۰/۲۰	۰/۱۲	۱/۶۹	۳۱/۸۱	۱۲	۰/۰۱۸۴	
۲۹	۰/۱۲	۰/۱۰	۱/۲۱	۲۸/۴۴	۱۲	۰/۰۱۶۵	
۳۰	۰/۰۸	۰/۰۳	۲/۴۵	۳۷/۱۷	۱۲	۰/۰۲۱۵	

دارد. در این تحقیق شاخص کیفیت توده سنگ نیز بر اساس خط برداشت و رابطه های ۳ و ۴ محاسبه شده است. نتایج نشان می دهد که شاخص کیفیت توده سنگ به دست آمده از روش خط برداشت هم خوانی مناسبی را با رابطه های تجربی فوق دارد و مقادیر میانگین RQD در ترانشه ۱ و ۲ به ترتیب برابر با ۵۳ و ۷۸ می باشد. با این وجود کاربرد RQD با محدودیت های زیادی مواجه است زیرا این شاخص بسته به جهت خط برداشت یا گمانه مقادیر متفاوتی را نشان می دهد. با توجه به شکل ۸ (الف) رابطه ای معکوس بین تراکم وزنی درزه و شاخص کیفی توده سنگ در ۶ خط برداشت در نظر گرفته شده وجود دارد.



شکل ۸. الف: نمودار رابطه بین RQD حاصل از خط برداشت و Wjd در ترانشه ۱ و ۲ هفت تیر؛ ب- نمودار رابطه بین فراوانی درزهها و Wjd

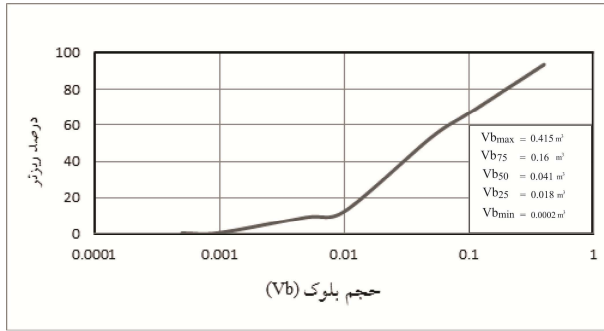
در محدوده مورد مطالعه برای تعیین حجم بلوك در ترانشه های سنگی از مقادیر فاکتور شکل ( $\beta$ ) و تراکم وزنی درزه (Wjd) استفاده شده است. اما همان طور که گفته شد به

## ۶. بحث و نتایج

در طی مرحله اجرای پروژه های مهندسی در سنگ (همانند: تونل، معدن و ترانشه های جاده ای)، در صورتی که سطوح سنگی با شاتکریت و ... پوشیده نشده باشد به آسانی می توان شرایط توده سنگ را مشاهده کرد و پارامترهای مختلف اندازه بلوك را با صرف هزینه و زمان کمتر محاسبه کرد. اندازه بلوك به عنوان یک پارامتر بسیار مهم در بسیاری از سیستم های طبقه بندی توده سنگ مورد استفاده قرار می گیرد. با توجه به اینکه سنگ های اولترابازیک نقش مهمی در ناپایداری شبکه ها و ترانشه های ایجاد شده در جنوب شهر مشهد را دارند، در این پژوهش به بررسی اندازه بلوك های ایجاد شده در سنگ های اولترابازیک در این قسمت از شهر پرداخته شده است. در این راستا با استفاده از روش های تجربی، میدانی و رسم نقشه درزه ها بر اساس مقیاس در هر ترانشه ۳ خط برداشت با طول های مختلف و با سه زاویه صفر، ۴۵ و ۹۰ درجه نسبت به سطح افق در نظر گرفته و اقدام به محاسبه پارامترهایی از قبیل RQD، Wjd و Vb شده است.

در رابطه با محاسبه تراکم وزنی درزه در ترانشه شماره ۱ و ۲ به ترتیب ۲۱۶ و ۱۳۶ زاویه بین درزه و خطوط برداشت اندازه گیری شده است و در نهایت مقدار میانگین Wjd در ترانشه شماره ۱ برابر با ۲۳ و در ترانشه شماره ۲ برابر با ۱۲ می باشد. در این روش درزه های موازی با خط برداشت یا محور گمانه برداشت نمی شوند. بنابراین نتایج حاصل از Wjd محافظه کارانه خواهد بود (Sonmez et al., 2004). علاوه بر این تقاطع خط برداشت یا محور گمانه با درزه های عمود بر آنها بیشتر از سایر درزه ها است، به همین (Hudson and Priest, 1983) توصیه کرده اند که در مکان هایی که حفاری انجام می شود ۳ گمانه در جهات مختلف برای دست یابی به اطلاعات درزه های توده سنگ در حالت سه بعدی به کار برده شود. شکل ۸ رابطه بین فراوانی درزه ها و شاخص کیفی توده سنگ را نسبت به Wjd محاسبه شده در ۶ خط برداشت ایجاد شده در هر دو ترانشه نشان می دهد، همان طور که در شکل ۸(ب) مشاهده می شود رابطه مستقیمی بین تراکم وزنی درزه و فراوانی درزه ها وجود

نشان داده شده است. کمترین و بیشترین حجم بلوک در منطقه به ترتیب برابر با  $0/0002$  و  $0/415$  مترمکعب می‌باشد.



شکل ۹. نمودار توزیع اندازه بلوک‌های سنگ‌های اولترابازیک جنوب مشهد

## ۷. نتیجه‌گیری

در این تحقیق از روش تراکم وزنی درزه به عنوان یک روش نسبتاً ساده و آسان برای اندازه‌گیری تراکم درزهای بلوک‌های اولترابازیک‌های جنوب مشهد استفاده شده است. این روش منجر به کاهش تعداد گمانه‌های مورد نیاز برای مطالعات می‌شود. برداشت‌های میدانی مشخص نمود که تودهسنگ در هر دو ترانشه موردنظر مطالعه با توجه به طبقه‌بندی Jv (Palmstrom, 2005) در ردیف تودهسنگ با درجه درزه‌داری بالا ( $10-30$ ) قرار می‌گیرد.

در توده سنگ‌هایی که درزهای نامنظم وجود دارد و یا درزهای ناپیوسته هستند شناسایی اندازه بلوک و به خصوص حجم بلوک و شکل واقعی هر بلوک سنگی با استفاده از روش‌های تجربی و میدانی کار دشواری است، با توجه به مطالعات انجام شده بر روی  $417$  بلوک سنگی در منطقه و با استفاده از دو روش مختلف، مشخص گردید که بلوک‌های این منطقه دارای شکل نسبتاً مسطح و کشیده هستند. و با توجه به نمودار توزیع اندازه بلوک‌ها، محدوده حجم بلوک در منطقه بین  $0/0002$  تا  $0/415$  متر مکعب متغیر است. با توجه به اینکه حجم بلوک فاکتور بسیار مهمی در طبقه‌بندی RMi می‌باشد، محاسبه این پارامتر از اهمیت بسزایی برخوردار است.

دلیل وجود درزه‌های تصادفی مقادیر فاکتور شکل نیز متغیر است. در واقع در مواردی که الگوی درزهای منظم وجود ندارد، نوع بلوک و مشخصات آن به صورت تجربی و تقریبی به دست می‌آید و در چنین مواردی اندازه‌گیری مستقیم اندازه بلوک با چشم در طی عملیات میدانی مناسب‌تر از ثبت همه درزه‌ها می‌باشد (Palmstrom, 1995). نوع بلوک عمدتاً به وسیله تفاوت اندازه ابعاد بین وجهه‌های بلوک تعیین می‌شود. مقادیر فاکتور شکل ( $\beta$ ) به دست آمده از روش تراکم وزنی درزه در ترانشهای ۱ و ۲ به ترتیب برابر با  $38$  و  $42$  محاسبه شده است که بر اساس طبقه‌بندی Palmstrom (2005) شکل بلوک‌های سنگی در هر دو ترانشه نسبتاً مسطح و کشیده می‌باشد ( $59$  تا  $33$   $\beta=$ ). با استفاده از تراکم وزنی درزه و رابطه  $1$  حجم بلوک‌های سنگی در ترانشه ۱ و ۲ با استفاده از درزه‌ها محاسبه شده است و نتایج حاصل همخوانی مناسبی را با مشاهدات میدانی نشان می‌دهد.

روش دیگری که برای محاسبه حجم بلوک‌های این منطقه استفاده شده است، اندازه‌گیری مستقیم ابعاد مرتبط با هر بلوک منفرد در سطح زمین می‌باشد. در این روش  $215$  بلوک به عنوان بلوک نماینده انتخاب و حجم بلوک‌های سنگی به آسانی اندازه‌گیری شده است. در اینجا این نکته قابل ذکر است که فاکتور شکل ( $\beta$ ) به دست آمده از این روش با فاکتور شکل به دست آمده از روش تراکم وزنی درزه همخوانی مناسبی را نشان می‌دهند و در واقع می‌توان از روش تراکم وزنی درزه به عنوان یک روش آسان و غیر مخرب استفاده کرد زیرا در مواقعي که بلوک‌های منفرد در سطح زمین در دسترس نباشند و تنها پارامتر برای اندازه‌گیری حجم بلوک درزه‌ها باشند می‌توان به سادگی حجم بلوک و فاکتور شکل مرتبط با آن را با روش تراکم وزنی درزه اندازه‌گیری کرد. شکل ۹ نمودار توزیع  $417$  بلوک سنگی را در منطقه نشان می‌دهد. این نمودار توسط (Palmstrom 2005) نیز ارائه گردیده است و روش تهیه این نمودار مشابه نمودار دانه‌بندی خاک می‌باشد. نتایج حاصل از این نمودار نیز در داخل آن

با استفاده از روش های اشاره شده می توان به آسانی و با هزینه و زمان کمتر به نتایج بهتر و کاربردی در مورد اندازه بلوك رسید به خصوص در موقعی که بلوك های منفرد در سطح زمین در دسترس نباشند و تنها پارامتر موجود برای تعیین اندازه بلوك درزه ها باشد. این پارامتر به عنوان یک فاکتور مهم در بسیاری از طبقه بندی های مهندسی توده سنگ به ویژه سیستم طبقه بندی RMi به کار می رود و با استفاده از این سیستم می توان قابلیت حفاری و ترانشه زنی و نوع ساپورت سنگی را در هر منطقه پیشنهاد داد.

### تشکر و قدردانی

نویسنده گان این مقاله بر خود لازم می دانند تا از جناب آقای دکتر Palmstrom به دلیل راهنمایی های ارزنده ایشان در تجزیه و تحلیل اطلاعات این پژوهش تشکر و قدردانی نمایند.

در این پژوهش شاخص کیفیت توده سنگ با استفاده از روش خط برداشت و نیز معادلات تجربی محاسبه شده است. نتایج حاصل از روش های مختلف همخوانی نسبتاً مناسبی را با یکدیگر نشان می دهند. با توجه به طبقه بندی RQD توده سنگ ترانشه ۱ در ردیف سنگ های نسبتاً خوب (۵۰-۷۵) و توده سنگ ترانشه ۲ در ردیف سنگ های خوب (۷۵-۹۰) قرار می گیرند. تعیین شاخص کیفیت توده سنگ با استفاده از روش خط برداشت، تعداد درزه های حجمی (Jv ~ WJd) و فراوانی درزه ها ( $\lambda$ ) به دلیل سهولت در اجرا و ارزان بودن یک روش کاربردی و مفید است. در مقابل به دست آوردن RQD از طریق مغزه گیری در جهات مختلف یک روش زمان بر و پرهزینه است. به دلیل محدودیت های موجود در مورد شاخص کیفیت توده سنگ نمی توان از این شاخص به تنهایی برای توصیف توده سنگ و مشخص کردن اندازه بلوك استفاده کرد.

### منابع

- آقاباتی ع، ۱۳۸۹. زمین شناسی ایران، انتشارات سازمان زمین شناسی و اکتشافات معدنی کشور.  
 قنادان ا،amasian M، قائمی ف، نادری N، ۱۳۸۸. تحلیل ساختاری ناحیه جنوب مشهد با نگرشی ویژه بر سیستم گسلی سنگ بست - شاندیز.  
 حافظی مقدس ن، قزی ا، ۱۳۸۶. اهمیت ارزیابی خطرات لرزه ای در توسعه شهری (مطالعه موردي شهر مشهد). بیست و هشتمین گردهمایی علوم زمین.

- نقشه زمین شناسی ۱:۱۰۰۰۰۰ مشهد، سازمان زمین شناسی و اکتشافات معدنی کشور.  
 نقشه زمین شناسی ۱:۱۰۰۰۰۰ طرقه، سازمان زمین شناسی و اکتشافات معدنی کشور.  
 Alavi, M., 1991. Sedimentary and structural characteristics of the Paleo-Tethys remnants in northeastern Iran. Geological Society of America Bulletin, 103(8): 983–992.  
 Barton, N., Lien, R., and Lunde. J., 1974. Engineering classification of rock masses for the design of tunnel support. Rock Mechanics, 6 (4): 183-236.  
 Bieniawski, Z.T., 1973. Engineering classification of jointed rock masses. The Civil Engineer in South Africa, 15: 335-344.  
 Boadu, F.K., Long, L.T., 1994. The fractal character of fracture spacing and RQD. International Journal Rock Mechanics and Mining Sciences & Geomechanics. Abstr., 31(2): 127–134.  
 Choi, S.Y., Park, H.D., 2004. Variation of rock quality designation (RQD) with scanline orientation and length: a case study in Korea. International Journal Rock Mechanics & Mining Science, 41: 207-221.  
 Cruden, D. M., 1977. Describing the size of discontinuities. International Journal Rock Mechanics and Mining Sciences & Geomechanics, Abstr., 14: 133-137.  
 Deere D.U., 1968. Geological considerations. Rock Mechanics in Engineering Practice, in: Stagg, K.G., Zienkiewicz, O.C. (eds), John Wiley & Sons, London, pp. 1-20.  
 Goodman, R.E., 1995. Block theory and its application. Geotechnique, 45(3): 383-423.

- Heliot, D., 1988. Generating a blocky rock mass. International Journal Rock Mechanics and Mining Sciences & Geomechanics. Abstr., 25(3): 127-138.
- Hudson J.A., Priest S.D., 1983. Discontinuity frequency in rock masses. International Journal Rock Mechanics and Mining Sciences & Geomechanics. Abstr., 20 (2): 73-89.
- Hudson, J. A., Priest, S. D., 1979. Discontinuity and rock mass geometry. International Journal Rock Mechanics and Mining Sciences & Geomechanics. Abstr., 16: 339-362.
- International Society for Rock Mechanics (ISRM), Commission on standardization of laboratory and field tests., 1978. Suggested methods for the quantitative description of discontinuities in rock masses. International Journal Rock Mechanics and Mining Sciences & Geomechanics. Abstr., 15(6): 319-368.
- Khamehchiyan, M., Rahimi Dizadji, M., Esmaeili, M., 2013. Application of rock mass index (RMI) to the rock mass excavatability assessment in open face excavations. Geomechanics and Geoengineering: An International Journal. DOI: 10.1080/17486025.2013.806996
- Kim, B. H., Cai, M., Kaiser, P. K., Yang, H. S., 2007. Estimation of block sizes for rock masses with non-persistent joints. Rock Mechanics and Rock Engineering, 40(2): 169-192.
- Lu, P., Latham, J. P., 1999. Developments in the assessment of in-situ block size distributions of rock masses. Rock Mechanics and Rock Engineering. 32 (1): 29-49.
- Majidi, B., 1980. The geochemistry and origin of the Upper Paleozoic basic and ultrabasic lava of NE Iran. Geol. Surv. Iran; Inter. Rep., 22p.
- Markovaara, M., Laine, E., 2012. MATLAB script for analyzing and visualizing scanline data. Computer and Geosciences, 40: 185-193.
- Palmstrom, A., 1995. RMI – a rock mass characterization system for rock engineering purposes. PhD thesis, University of Oslo, Department of Geology, 400 p.
- Palmstrom, A., 2000. Block size and block size distribution. Paper presented at the workshop on “Reliability of classification system” in connection with the GeoEng 2000 Conference, Melbourne, 18-24 November2000.
- Palmstrom, A., (2005). Measurements of and correlation between block size and rock quality designation (RQD). Tunnels and Underground Space Technology, 20: 362-377.
- Saliu, M. A., Olaleye, B. M., Haleem. J. O., 2012. Modified volumetric joint account to check for suitability of granite outcrops for dimension stone production. Journal of Engineering Science and Technology. 7(5): 646-660.
- Saliu, M.A., Akande, J.M., 2012. Fracture characterization: an effective technique for ensuring accurate blast design. Journal of Emerging Trends in Engineering and Applied Sciences (JETEAS), 2(6): 1015-1019.
- Sen, Z., Eissa, E. A., 1992. Rock quality charts for log-normally distributed block size. International Journal Rock Mechanics and Mining Sciences & Geomechanics. Abstr., 29: 1-12.
- Sonmez, H., Nefeslioglu, H.A., Gokceoglu, C., 2004. Technical note determination of Wjd on rock exposures including wide spaced joint. Rock Mechanics and Rock Engineering. 37(5): 403-413.
- Wang, L.G., Yamashita, S., Sugimoto, F., Pan, C., Tan, G., 2003. A methodology for predicting the in situ size and shape distribution of rock blocks. Rock Mechanics and Rock Engineering. 36 (2): 121–142.